

SZABADKAI MŰSZAKI SZAKFŐISKOLA

SZABADKA



DC motor pozíciószabályozása

- projektum -

Hallgatók: Pálfi Szuzanna 09213002

Tárgy: Digitális
irányítórendszerek

Szegedi Mihály 09213003

Tanár: Dr. Pletl Szilveszter

Szabadka, 2014

Tartalomjegyzék

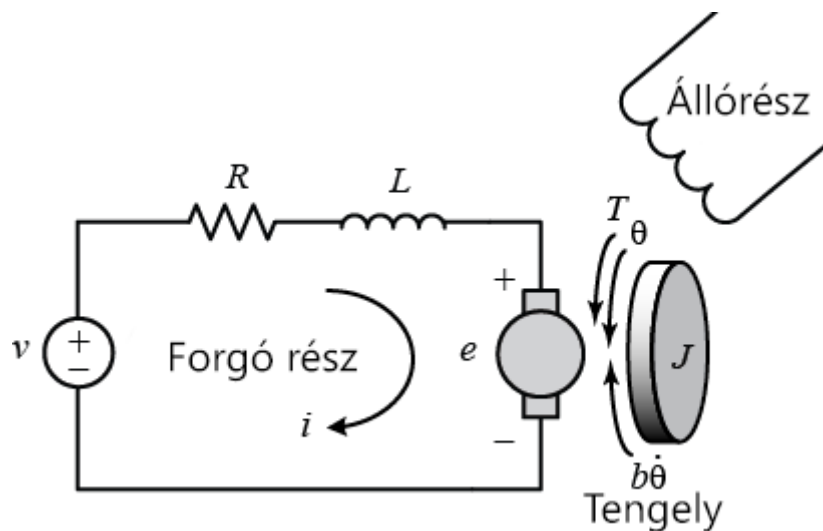
TARTALOMJEGYZÉK	2
A FELADAT LEÍRÁSA	3
A KEFÉS DC MOTOR FIZIKAI MODELLJE	3
A MOTOR MODELLJÉNEK LEÍRÁSA	4
RENDSZEREGYENLETEK	4
ÁTVITELI FÜGGVÉNY	5
ÁLLAPOTEGYENLETEK	6
TERVEZÉSI KÖVETELMÉNYEK	8
A RENDSZER MODELLEZÉSE SIMULINKBEN	8
RENDSZER ANALÍZIS	16
NYÍLT HURKÚ VÁLASZ	16
PID SZABÁLYZÓ TERVEZÉSE	19
ARÁNYOS SZABÁLYOZÁS	20
PI SZABÁLYZÁS	23
PID SZABÁLYZÁS	25
ÁLLAPOTTÉR MÓDSZEREK A SZABÁLYOZÓ TERVEZÉSÉHEZ	28
VISSZACSATOLT ÁLLAPOTTÉR SZABÁLYOZÓ TERVEZÉSE	29
DIGITÁLIS SZABÁLYOZÓ TERVEZÉSE	32
A RENDSZER MINTAVÉTELEZETT ADATMODELLJE	33
ÁBRAJEGYZÉK	40

A feladat leírása

A feladat célja egy szabályzó megtervezése SIMULINK-ben, amely egy keféscs DC motor pozíciószabályozását végzi. A feladat bemutatja a motor felépítését, működését és modellezését, a szabályzó megtervezését és a kapott eredményeket.

A keféscs DC motor fizikai modellje

A keféscs DC motor az egyik legelterjedtebb aktuátor. Két részből áll: az armatúrából, vagyis a rotorból, illetve a státorból, vagyis az állórészből.



1. ábra - Keféscs DC motor vázlata

Az állórész egy állandó mágneses mezőt generál, amely körülveszi az armatúrát. Az armatúra tekercsei keféken keresztül csatlakoznak a tápfeszültséghez. A tekercsre adott feszültség hatására elektromágneses vonzás, taszítás alakul ki a státor és az armatúra között, és ez kényszeríti elfordulásra a motor tengelyét. A keféscs DC motor fordulatszáma csak a bemenő tápfeszültségtől függ.

A fenti ábrán levő motor a következő tulajdonságokkal rendelkezik:

- R – a motor ohmikus ellenállása
- L – a motor induktivitása

- V – a tápfeszültség
- i – a motoron átfolyó áram
- T - a motor tengelyének aktuális szöge
- B - a motor súrlódása

Az ábrán nincsenek feltüntetve a következő tulajdonságok:

- K_e – a motor elektromos erő állandója
- K_t – a motor nyomaték állandója
- J – a motor tehetetlensége

A motor modelljének leírása

Rendszeregyenletek

A motor tengelyének aktuális szöge a motor áramától és a motor nyomaték állandójától függ:

$$T = K_t i$$

Az elektromotoros erő e a szögsebesség és a K_e állandó szorzatával egyenlő:

$$e = K_e \dot{\theta}$$

Az SI mértékrendszerben a két állandó értéke egyforma ezért:

$$K_e = K_t = K$$

A fenti ábrából Newton 2. törvénye és Kirchhoff-feszültség törvénye alapján a következő egyenletet tudjuk levezetni:

$$J\ddot{\theta} + b\dot{\theta} = Ki$$
$$L\frac{di}{dt} + Ri = V - K\dot{\theta}$$

Átviteli függvény

Laplace-transzformáció alkalmazása után, a fenti egyenletek a következőképpen alakulnak:

$$s(Js + b)\Theta(s) = KI(s)$$
$$(Ls + R)I(s) = V(s) - Ks\Theta(s)$$

Az $I(s)$ eliminálása után a fenti egyenletekből a következő nyílt hurkú átviteli függvény írható fel, ahol a forgási sebesség a kimenet, míg a kapocsfeszültség a bemenet.

$$P(s) = \frac{\dot{\Theta}(s)}{V(s)} = \frac{K}{(Js + b)(Ls + R) + K^2} \left[\frac{rad/sec}{V} \right]$$

Mivel mi a pozíciót keressük, tehát a kimeneten a pozícióra van szükségünk, amelyet úgy érünk el, hogy integráljuk a sebességet, tehát a fenti egyenletet el kell osztanunk s -sel, és a következőt kapjuk:

$$P(s) = \frac{\Theta(s)}{V(s)} = \frac{K}{s((Js + b)(Ls + R) + K^2)} \left[\frac{rad}{V} \right]$$

A fenti egyenlet a motor átviteli egyenlet, amit MATLAB-ban a változók paramétereinek deklarálásával és a függvények definiálásával adunk meg. A programkód a következő ábrán látható:

```
J = 3.2284E-6;  
b = 3.5077E-6;  
K = 0.0274;  
R = 4;  
L = 2.75E-6;  
s = tf('s');  
P_motor = K/(s*((J*s+b)*(L*s+R)+K^2))  
P_motor =  
  
0.0274  
-----  
8.878e-12 s^3 + 1.291e-05 s^2 + 0.0007648 s  
  
Continuous-time transfer function.
```

Állapotegyenletek

Az állapot változók (pozíció, forgási sebesség és elektromos áram) kiválasztásával a fenti egyenleteket állapottéri egyenletekbe írjuk fel. A bemenet a kapocsfeszültség, a kimenet a pozíció.

$$\frac{d}{dt} \begin{bmatrix} \theta \\ \dot{\theta} \\ i \end{bmatrix} = \begin{bmatrix} 0 & 1 & 0 \\ 0 & -\frac{b}{J} & \frac{K}{J} \\ 0 & -\frac{K}{L} & -\frac{R}{L} \end{bmatrix} \begin{bmatrix} \theta \\ \dot{\theta} \\ i \end{bmatrix} + \begin{bmatrix} 0 \\ 0 \\ \frac{1}{L} \end{bmatrix} V$$
$$y = \begin{bmatrix} 1 & 0 & 0 \end{bmatrix} \begin{bmatrix} \theta \\ \dot{\theta} \\ i \end{bmatrix}$$

A rendszert modellezhetjük állapot egyenletekkel is. A következő ábrán bemutatjuk, hogy ezt MATLAB-ban hogyan lehet elkészíteni, és futtatni:

```
A = [0 1 0
      0 -b/J K/J
      0 -K/L -R/L];
B = [0 ; 0 ; 1/L];
C = [1 0 0];
D = [0];

motor_ss = ss(A,B,C,D)
motor_ss =

    a =

           x1           x2           x3
    x1         0           1           0
    x2         0       -1.087       8487
    x3         0      -9964  -1.455e+06

    b =

           u1
    x1         0
    x2         0
    x3  3.636e+05

    c =

           x1  x2  x3
    y1      1   0   0

    d =

           u1
    y1      0

Continuous-time state-space model.
```

A fent bemutatott modell legenerálható a következő paranccsal is:

```
motor_ss = ss(P_motor);
```

Tervezési követelmények

A rendszer kimenetének meg kell felelnie a következő követelményeknek:

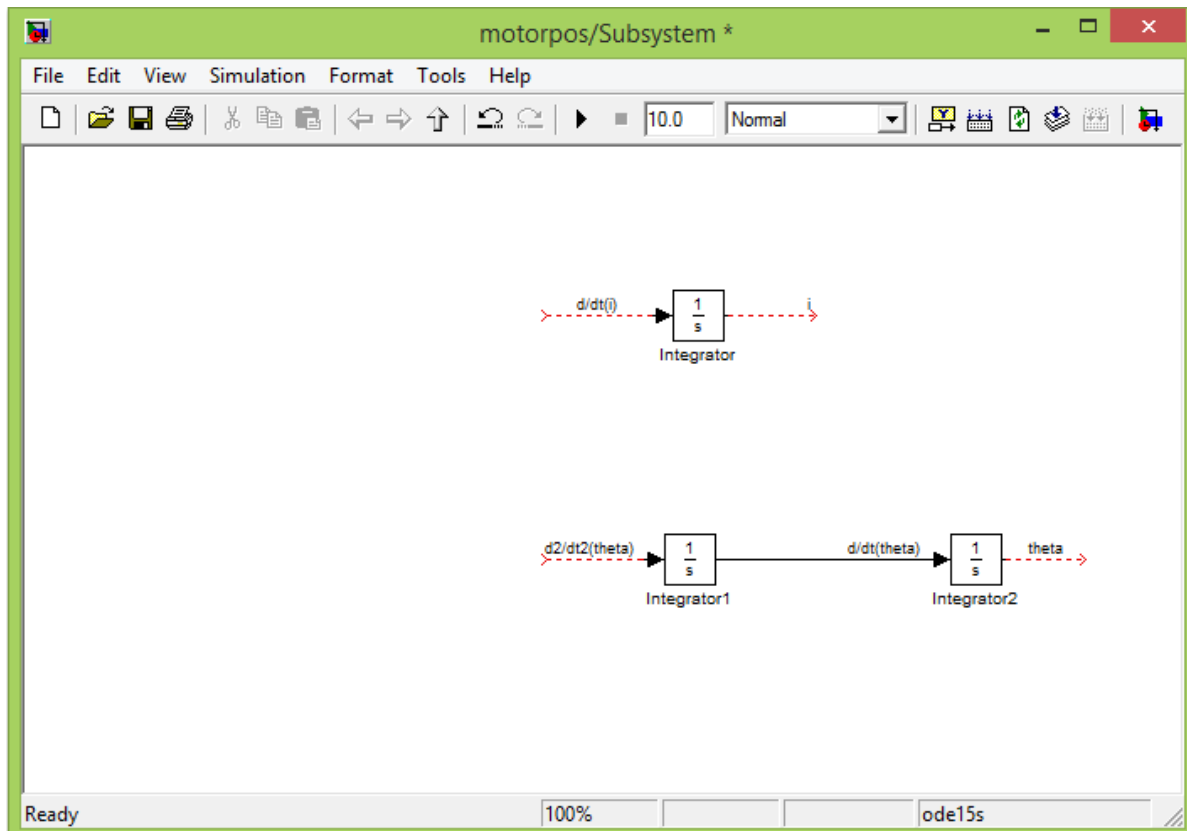
- A beállási idő legyen kevesebb, mint 40 ms
- A túllövés legyen kevesebb, mint 16%
- Állandósult állapotban ne legyen hiba, még ha a bemeneten zavar (terhelés) is van.

A rendszer modellezése simulinkben

A rendszert úgy modellezhetjük, hogy összeadjuk a rotor tehetetlensége ellen ható nyomatékokat és integráljuk a rotor szöggyorsulását a pillanatnyi kerületi sebességgé és ezt a sebességet tovább integrálva megkaphatjuk a motor pozícióját. Kirchoff törvényeit is alkalmazzuk az armatúra terheléseinek kiszámítására. Először a motor gyorsulását és az armatúra áramváltozását integráljuk:

$$\iint \frac{d^2\theta}{dt^2} dt = \int \frac{d\theta}{dt} dt = \theta$$
$$\int \frac{di}{dt} dt = i$$

Ezután simulinkben berakjuk a szükséges integrator blokkokat.



2. ábra – Integrátorok bevitele Simulinkben

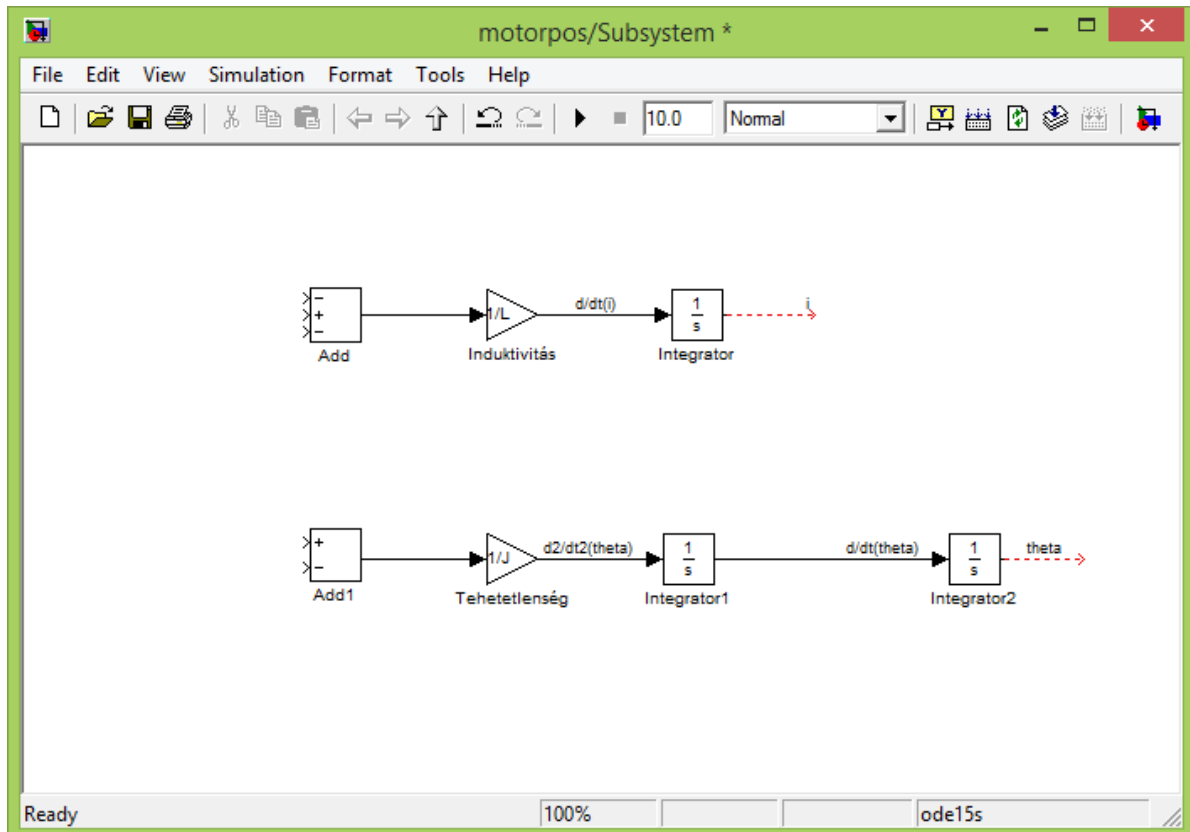
Ezután alkalmazzuk Kirhoff törvényeit a motor mechanikai és elektromos rendszerére is. A mechanikai rendszerre a következő képletet írjuk fel:

$$J \frac{d^2 \theta}{dt^2} = T - b \frac{d\theta}{dt} \Rightarrow \frac{d^2 \theta}{dt^2} = \frac{1}{J} (K_t i - b \frac{d\theta}{dt})$$

Az elektromos rendszerre a következő képletet írjuk fel:

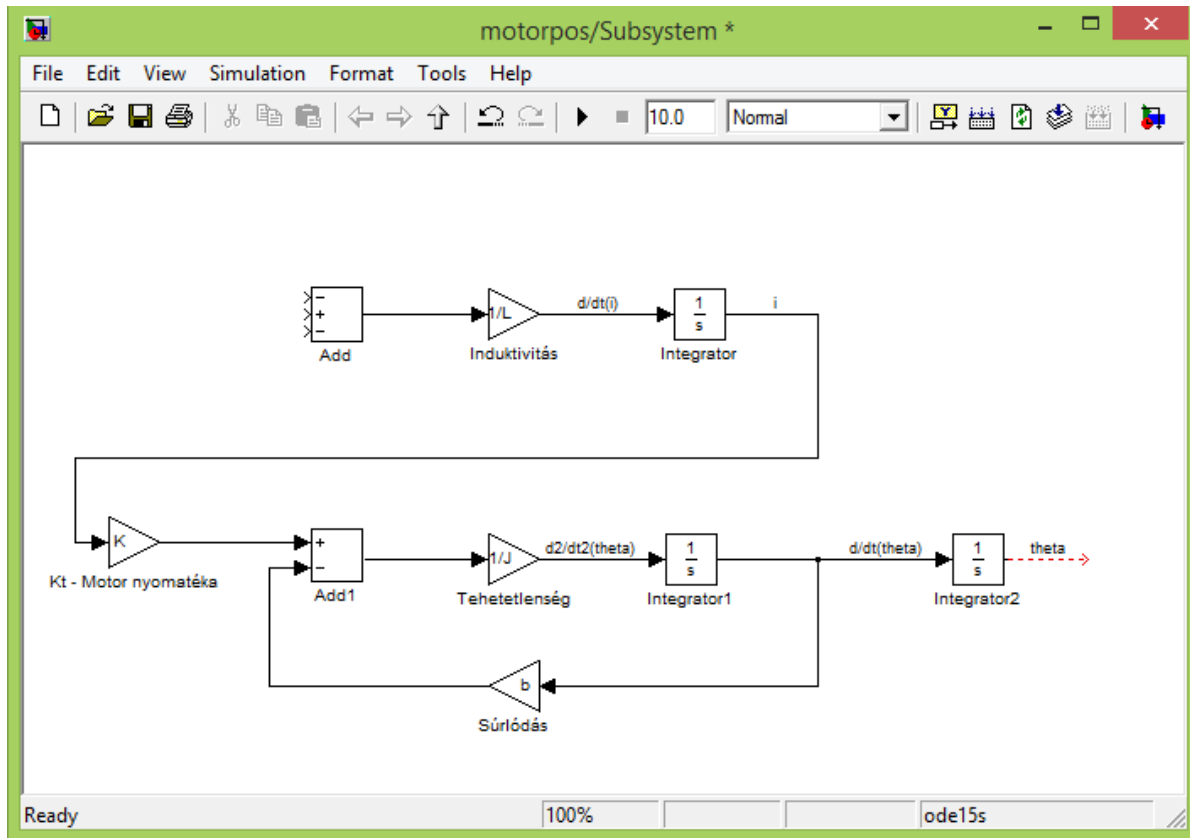
$$L \frac{di}{dt} = -Ri + V - e \Rightarrow \frac{di}{dt} = \frac{1}{L} (-Ri + V - K_b \frac{d\theta}{dt})$$

A szöggyorsulás egyenlő $1/J$ megszorozva két tényezővel. Hasonlóan az áram deriváltja egyenlő $1/L$ megszorozva három tényezővel.



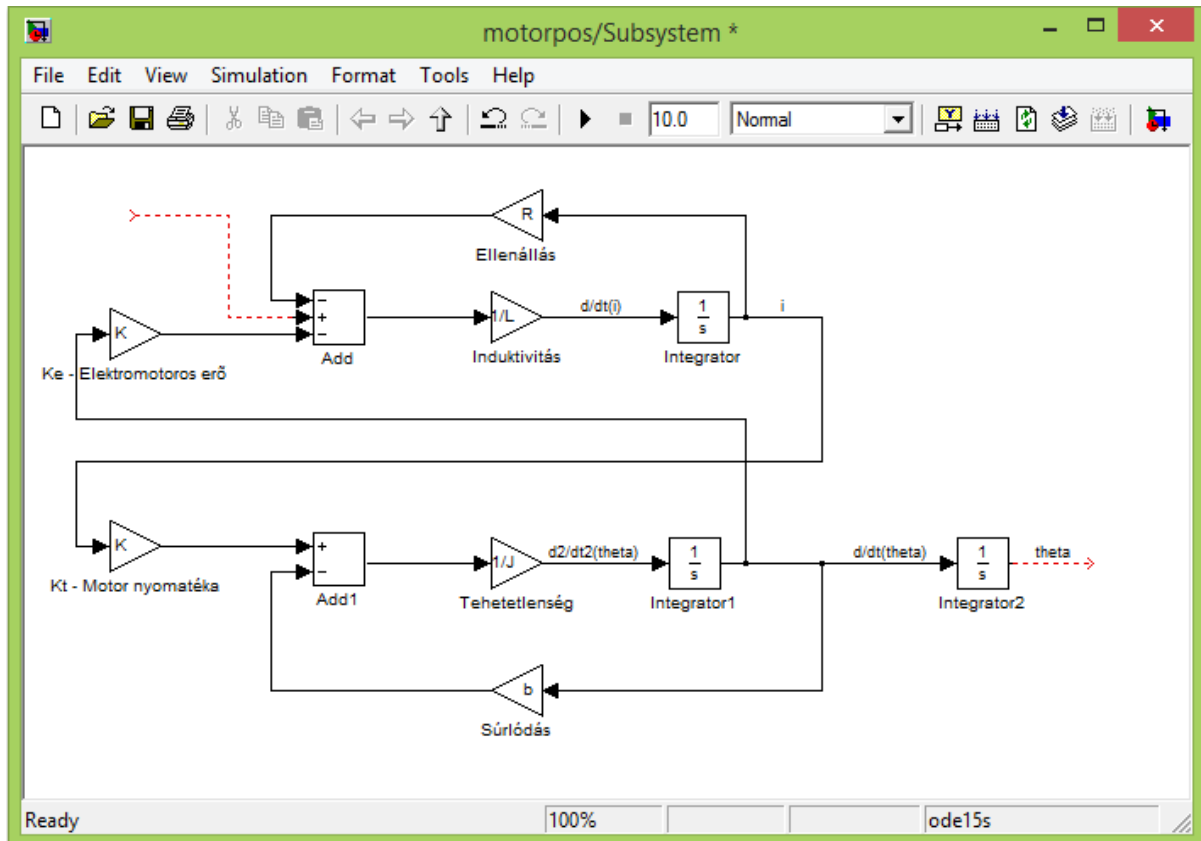
3. ábra – Induktivitás és tehetelenség hozzáadása Simulinkben

Ezután hozzáadjuk a nyomatékokat, melyeket Newton törvényeiből kapunk. Először a súrlódást, majd pedig az armatúra nyomatékát.



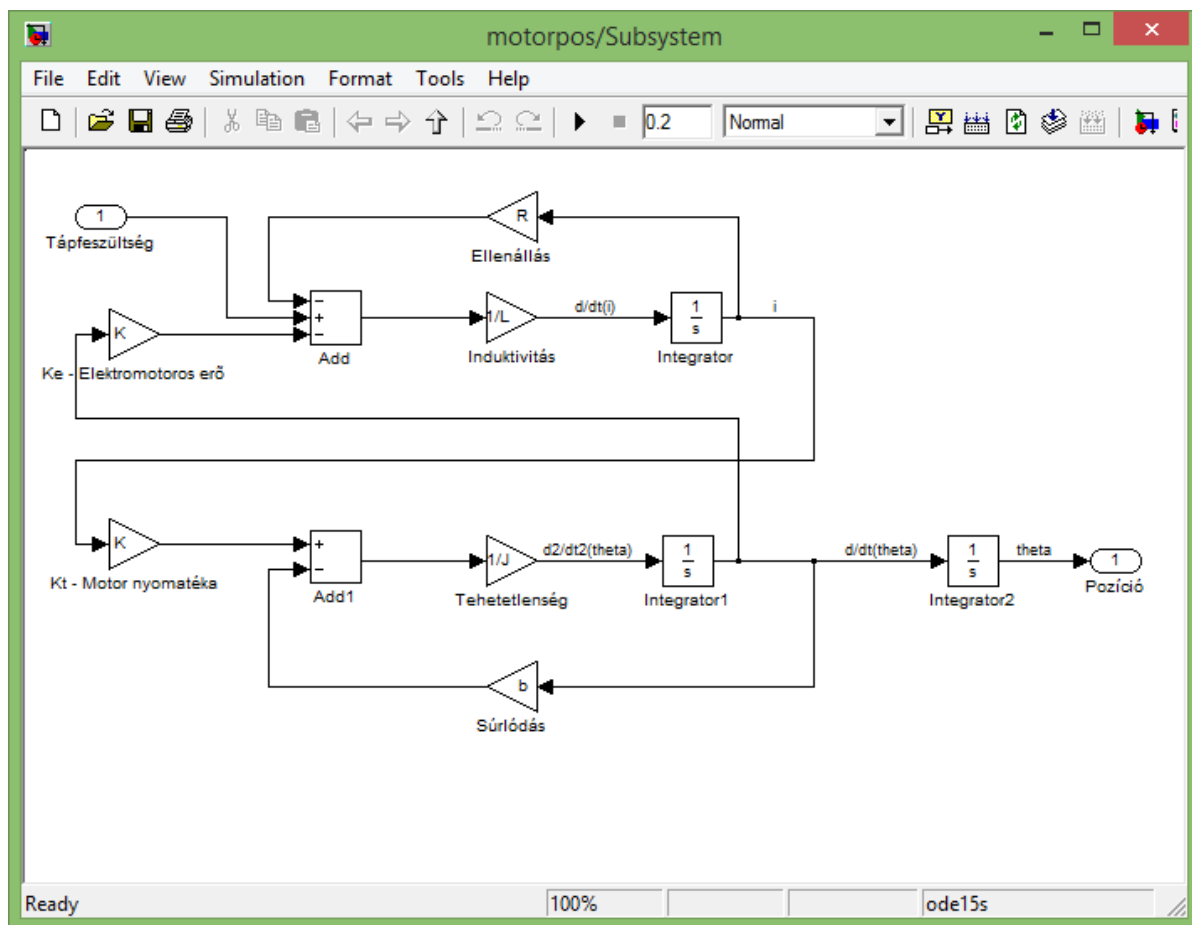
4. ábra – Súrlódás és a motor nyomatékának hozzáadása Simulinkben

Ezután a feszültségre vonatkozó elemeket adjuk hozzá, először a feszültségesést az armatúra ohmikus ellenállásán keresztül, majd pedig az elektromotoros erőt.



5. ábra – Elektromotoros erő és feszültségesés

Ezek után már csak a bemenetet és a kimenetet kell a rendszerhez illeszteni.

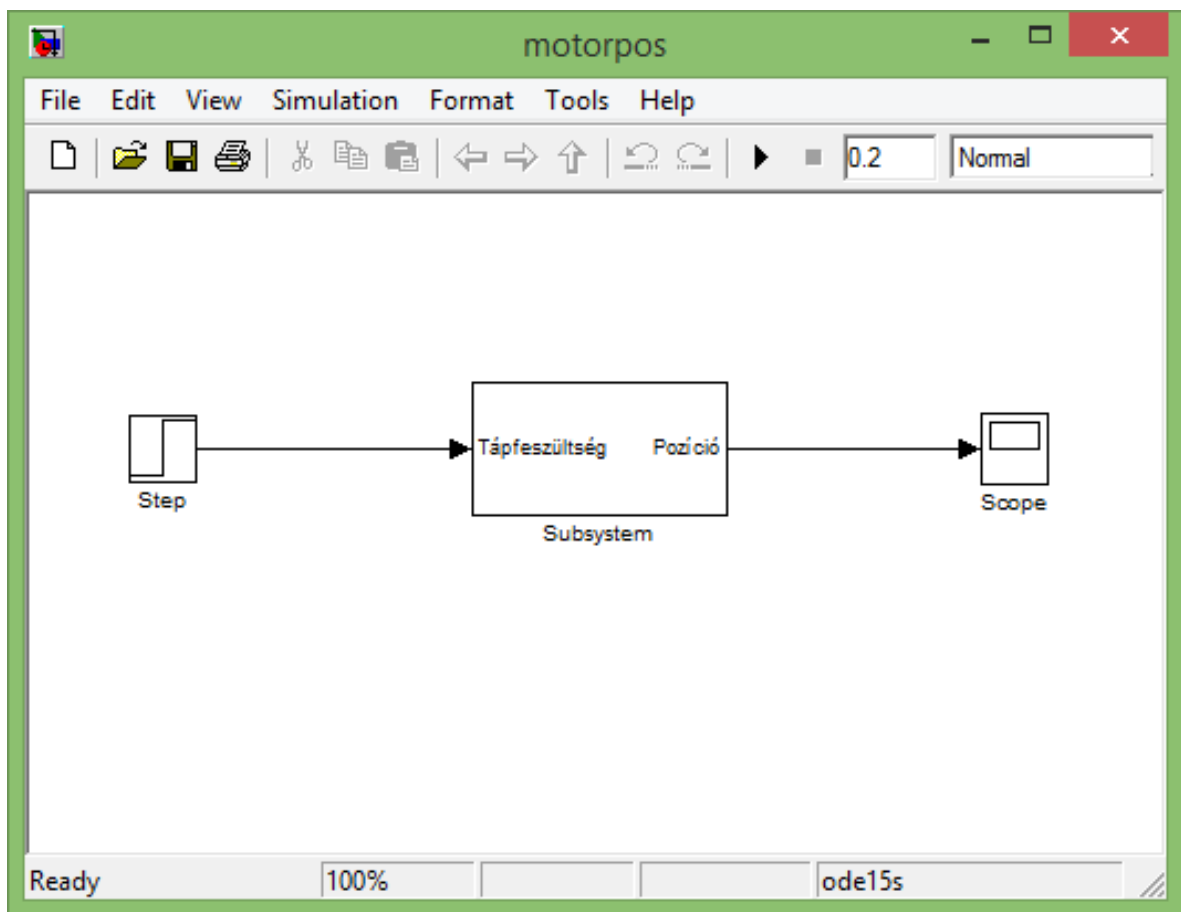


6. ábra – Bemenet és kimenet hozzáadása Simulinkben

Az összes elemet először is elmentjük egy alrendszerbe, mégpedig a következő módon:

- jelöljük ki az összes elemet (Ctrl+A)
- majd az Edit menüpontban kattintsunk a
- Create Subsystem menüpontra.

Így a modell a következőképpen fog kinézni:



7. ábra – A kész rendszer Simulinkben

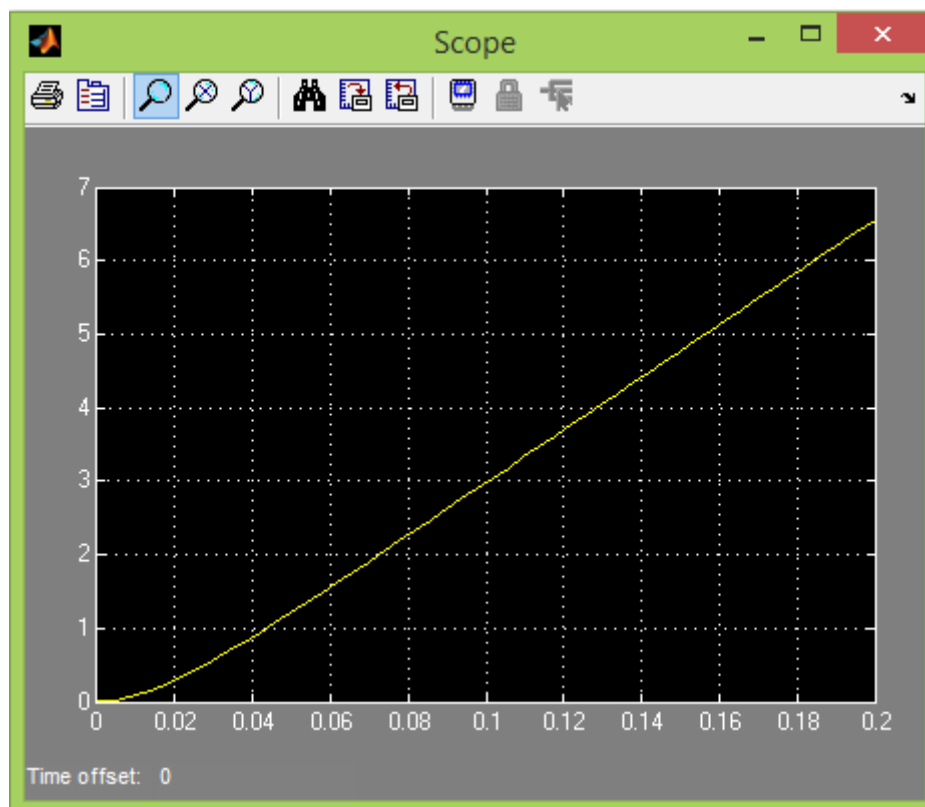
A szimulációnál a következő értékeket használtuk a motor modellezéséhez:

- $J=3.2284 \times 10^{-6} \text{ kg.m}^2$
- $b=3.5077 \times 10^{-6} \text{ Nms}$
- $K_e=0.0274 \text{ V/rad/sec}$
- $K_t=0.0274 \text{ Nm/Amp}$
- $R=4 \text{ ohm}$
- $L=2.75 \times 10^{-6} \text{ H}$

A szimulációt három módon tudjuk futtatni:

- Megnyomjuk a Ctrl+T billentyűkombinációt,
- Simulation menüből a Start menüpontra kattintva, illetve
- a menüsorból a Start Simulation nyilacska megnyomásával.

Miután elindítottuk a szimulációt, a kimenetet a Scope segítségével tudjuk követni, még hozzá úgy, hogy duplán kattintunk a Scope blokkra. Méretezzük át a Scope felületét, hogy a teljes tartalmat láthassuk. Ezt úgy tehetjük meg, hogy az eszközsorban a távcső ikonra kattintunk (Autoscale), vagy jobb klikk után az almenüből kiválasztjuk az Autoscale menüpontot.



8. ábra - Eredmény megtekintése a Scope-on

Rendszer analízis

Az egyenáramú motornál a dinamikus egyenletek Laplace tartományban és a nyílt hurkú átviteli függvény a következők:

$$\begin{aligned} s(Js + b)\Theta(s) &= KI(s) \\ (Ls + R)I(s) &= V(s) - Ks\Theta(s) \\ P(s) = \frac{\Theta(s)}{V(s)} &= \frac{K}{s((Js + b)(Ls + R) + K^2)} \quad \left[\frac{\text{rad}}{\text{V}} \right] \end{aligned}$$

Ahhoz, hogy egy lépésben 1 rad/sec legyen a referens érték, a tervezési kritériumok a következők:

- A beállási idő kevesebb, mint 40ms
- A túllövés kevesebb, mint 16%
- Állandósult állapotban ne legyen hiba, még ha a bemeneten zavar (terhelés) is van.

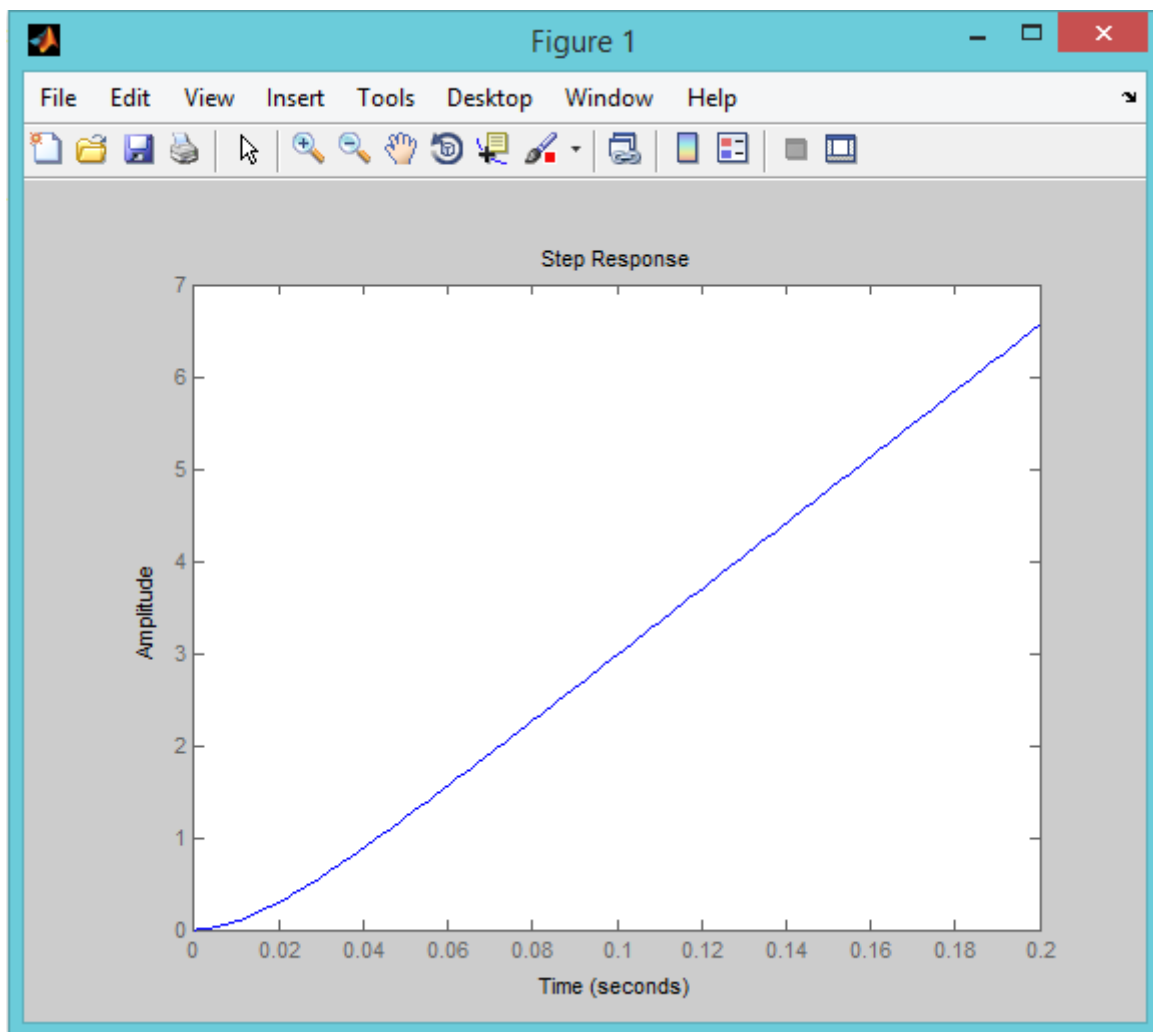
Nyílt hurkú válasz

Először is hozzunk létre MATLAB-ban egy új m-fájlt, és írjuk be a következőket:

```
J = 3.2284E-6;  
b = 3.5077E-6;  
K = 0.0274;  
R = 4;  
L = 2.75E-6;  
s = tf('s');  
P_motor = K/(s*((J*s+b)*(L*s+R)+K^2));
```

Most nézzük meg, hogy a rendszer hogy viselkedik ha bekapcsoljuk. Megadjuk a t időkorlát függvényét, majd a motor modelljével lefuttatjuk a step függvényt.

```
t = 0:0.001:0.2;  
step(P_motor,t)
```

9. ábra – A rendszer viselkedése

A fenti képen látható, hogy a bemenetre adott 1V hatására a motor határtalanul gyorsul. Ez megfelel az adott követelményeknek, amikor a motoron nincs terhelés, viszont a rendszer ilyenkor instabil. A rendszer stabilitását az `isstable` paranccsal lehet ellenőrizni, aminek a válasza 1 ha a rendszer stabil, 0, ha nem stabil a rendszer.

```
isstable(P_motor)
ans =
    0
```

A rendszer stabilitása szintén meghatározható a rendszer pólsaiból, amiket a pole paranccsal kapunk.

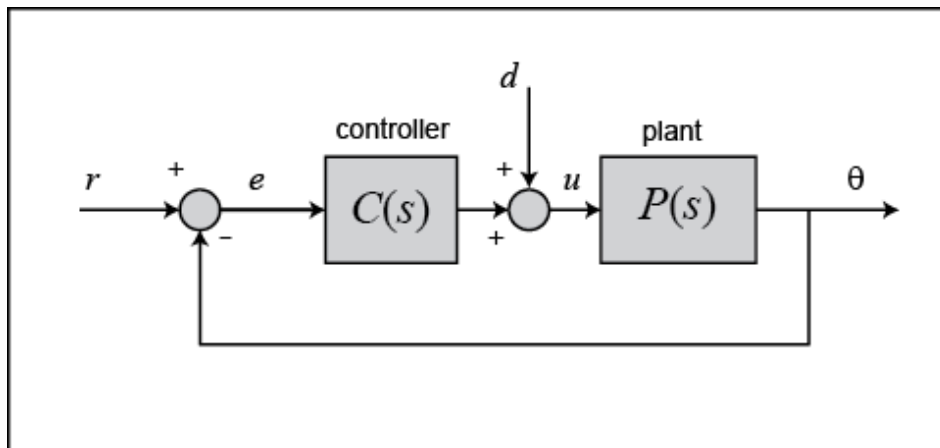
```
pole(P_motor)
ans =
    1.0e+06 *
         0
    -1.4545
    -0.0001
```

Amint látható, az egyik pólus imaginárius, a másik kettő a komplex sík bal oldalán helyezkedik el. Az imaginárius pólus azt mutatja, hogy rendszer válasza nem fog határtalanul növekedni, viszont nem is fog a nulla felé tartani. Attól még, hogy a válasz nem fog határtalanul nőni, egy rendszer egy pólussal az imaginárius tengelyen tarthat a végtelenbe attól függetlenül, hogy a bemenet korlátos-e. Az előző grafikonon is ezt láthattuk. Ebben az esetben a középpontban lévő pólus(0) úgy hat mint egy integrátor, vagyis ha a rendszer bemenetére jelet adunk, a kimenete elkezd nőni a végtelenségig, mint amikor egy konstans értéket integrálunk.

PID szabályzó tervezése

$$P(s) = \frac{\Theta(s)}{V(s)} = \frac{K}{s(Js + b)(Ls + R) + K^2} \left[\frac{\text{rad}}{V} \right]$$

A rendszer szerkezeti formája az alábbi ábrán látható:



10. ábra – A rendszer szerkezeti formája, PID szabályzó tervezése

Ahhoz, hogy egy lépésben 1 rad/sec legyen a referencia, a tervezési kritériumok a következők:

- A beállási idő kevesebb, mint 40ms
- A túllövés kevesebb, mint 16%
- Állandósult állapotban ne legyen hiba, még ha a bemeneten zavar (terhelés) is van.

Nyitunk egy új m-fájlt, és a következő parancsokat adjuk meg:

```
J = 3.2284E-6;  
b = 3.5077E-6;  
K = 0.0274;  
R = 4;  
L = 2.75E-6;  
s = tf('s');  
P_motor = K/(s*((J*s+b)*(L*s+R)+K^2));
```

Átviteli függvény a PID vezérlőhöz:

$$C(s) = K_p + \frac{K_i}{s} + K_d s = \frac{K_d s^2 + K_p s + K_i}{s}$$

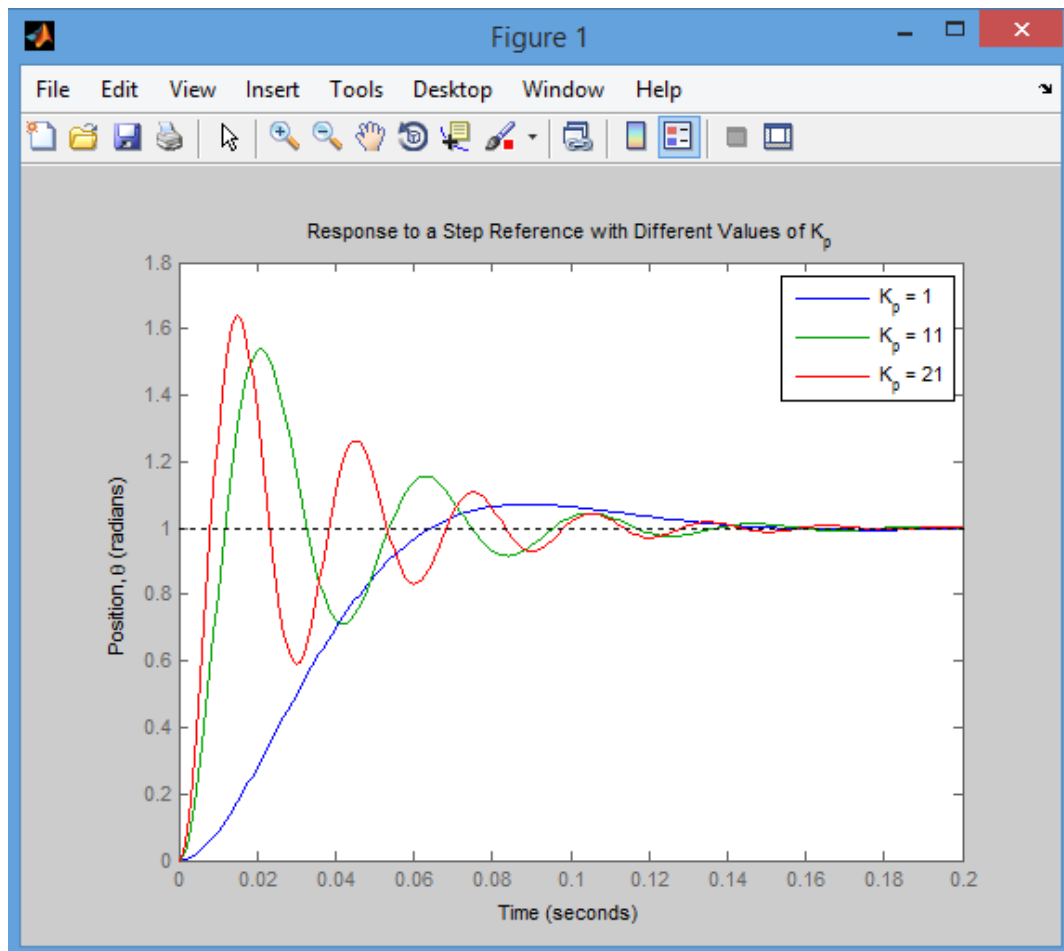
Arányos szabályozás

Ahhoz, hogy meghatározzuk a zárt hurkú szabályzó átviteli függvényét, használjuk a *feedback* parancsot.

```
Kp = 1;  
for i = 1:3  
    C(:, :, i) = pid(Kp);  
    Kp = Kp + 10;  
end  
sys_cl = feedback(C*P_motor, 1);
```

Most vizsgáljuk meg a zárt hurkú szabályzó átviteli függvényének lépés válaszát:

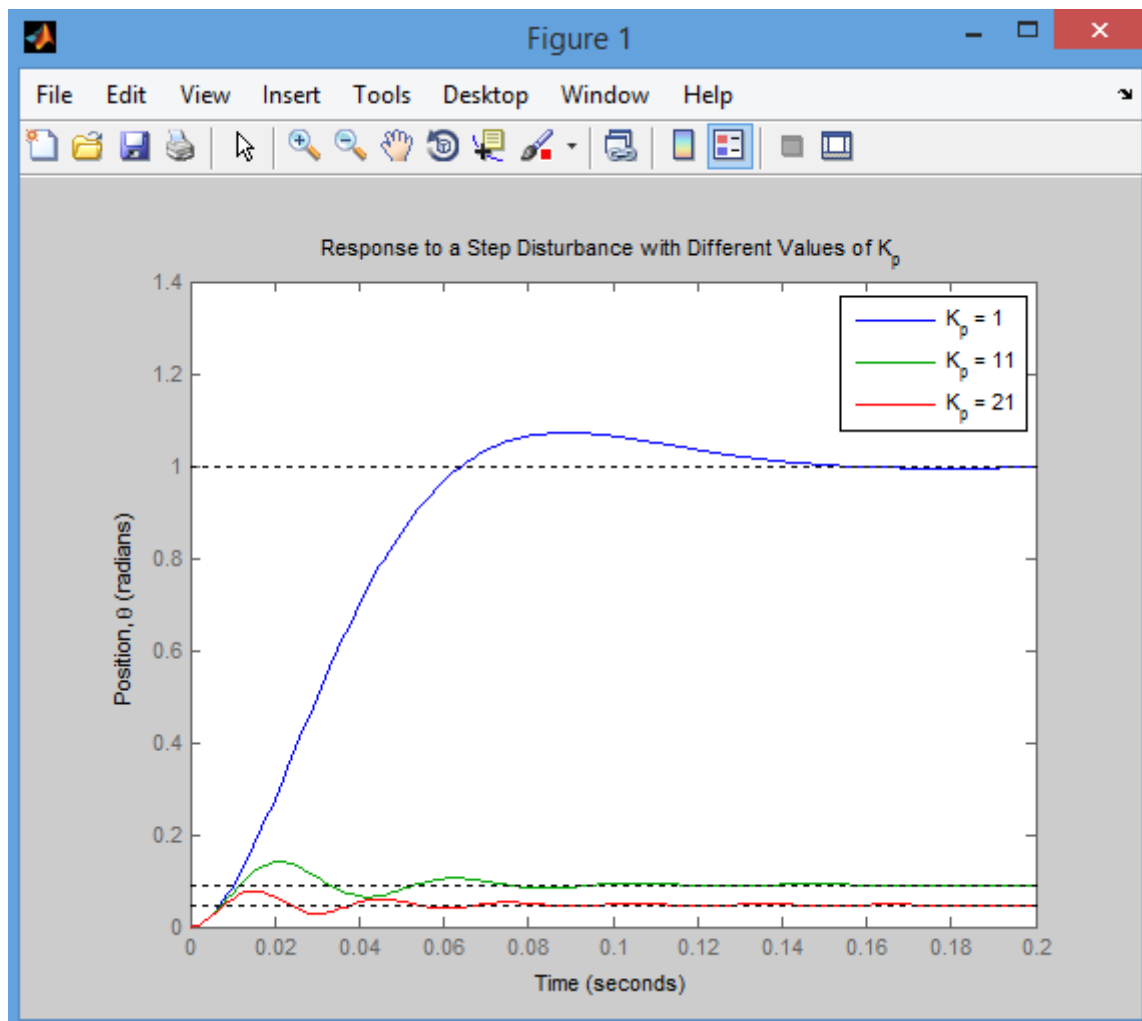
```
t = 0:0.001:0.2;  
step(sys_cl(:, :, 1), sys_cl(:, :, 2), sys_cl(:, :, 3), t)  
ylabel('Position, \theta (radians)')  
title('Response to a Step Reference with Different Values of K_p')  
legend('K_p = 1', 'K_p = 11', 'K_p = 21')
```



11. ábra – A zárt hurkú szabályzó átviteli függvényének lépés válasza

Most nézzük meg a rendszer viselkedését terhelés alatt. Ebben az esetben a zero referenciát, és megfigyeljük, hogyan válaszol a rendszer magára a terhelésre. A feedback parancs kell, hogy zárt hurkú átvitelt hajtsunk végre, ahol negatív visszacsatolás van, habár most csak az átviteli $P(s)$ függvény van a kimenet felé és a vezérlő $C(s)$ pedig visszacsatolásban. Most nézzük meg újra a fenti blokk ábrát az oldal tetején, hogy lássuk a rendszer felépítését. Adjuk hozzá az m-fileunk végére a következőket, és futtassuk le:

```
dist_cl = feedback(P_motor,C);  
step(dist_cl(:,:,1), dist_cl(:,:,2), dist_cl(:,:,3), t)  
ylabel('Position, \theta (radians)')  
title('Response to a Step Disturbance with Different Values of K_p')  
legend('K_p = 1', 'K_p = 11', 'K_p = 21')
```



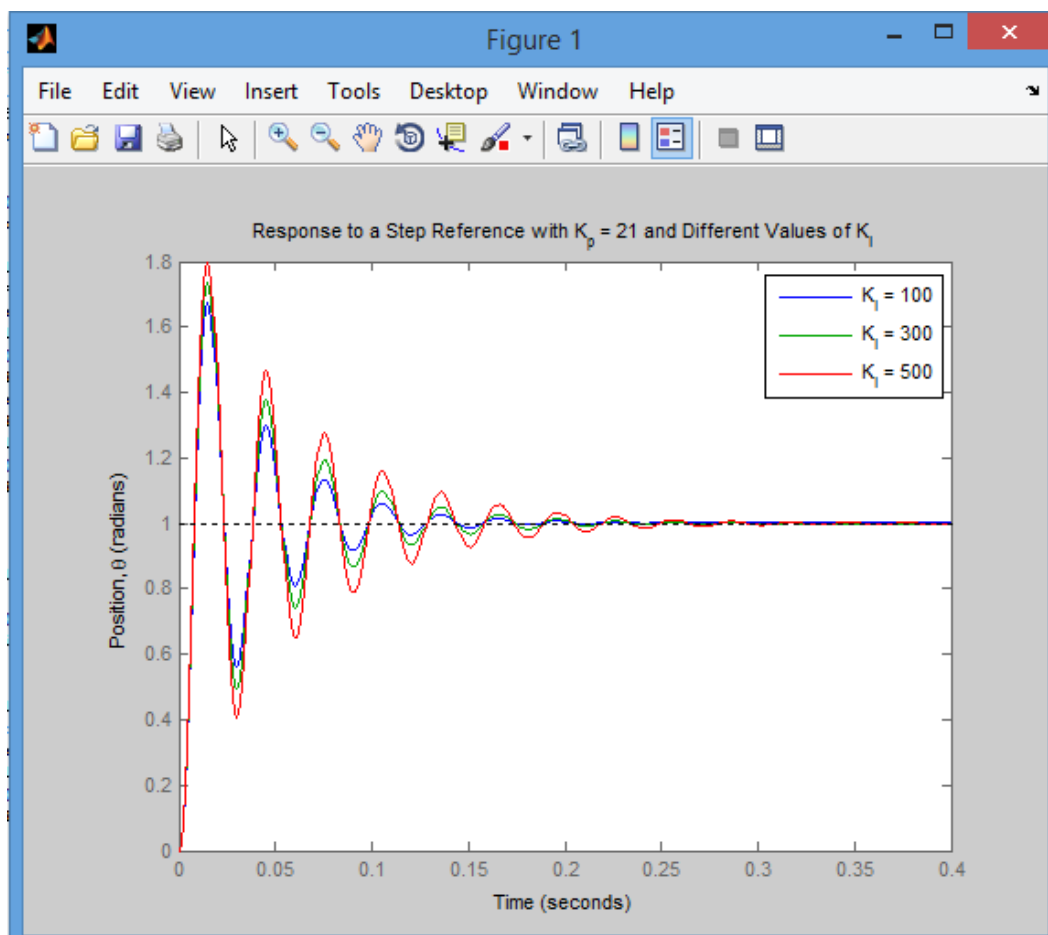
12. ábra – A rendszer viselkedése terhelés alatt

A fenti ábrákon látható hogy nincs egyensúlyi állapot hiba az egység bementről, figyelmen kívül hagyva a K_p erősítést. Ez $k=1$ esetén látszik. Látható, hogy a rendszer hasonlóan viselkedik, ha egyensúlyi állapotban terhelés alatt van. Abban az esetben ha a referenciát és a terhelést összeadjuk, az egyenlő lesz a két grafikon összegével. Ezt követi a szuperpozíció, ami használható a lineáris rendszerkre. Ebből kiindulva ha akarunk egy egyensúlyi állapot hibát a terhelés jelenlétekor, a terhelésnek változnia kell, tartania kell a nulla felé. Minél nagyobb a K_p értéke, annál kisebb lesz az egyensúlyi állapot hibája, de soha nem éri el a nullát. Persze minél nagyobb értékkel dolgozunk, annál nagyobb lesz a túllövés és annál hosszabb lesz a beállási idő.

PI szabályzás

Először egy PI szabályzóval próbáljuk meg kiküszöbölni a terhelés egyensúlyi hibáját. A K_p -re 21-et veszünk és teszteljük az erősítést a K_i -vel 100-tól 500-ig. Az m fileunk tartalmát cseréljük ki a következőre, és futtassuk a parancssorban. Az alábbi ábra fog kiraljzolódni:

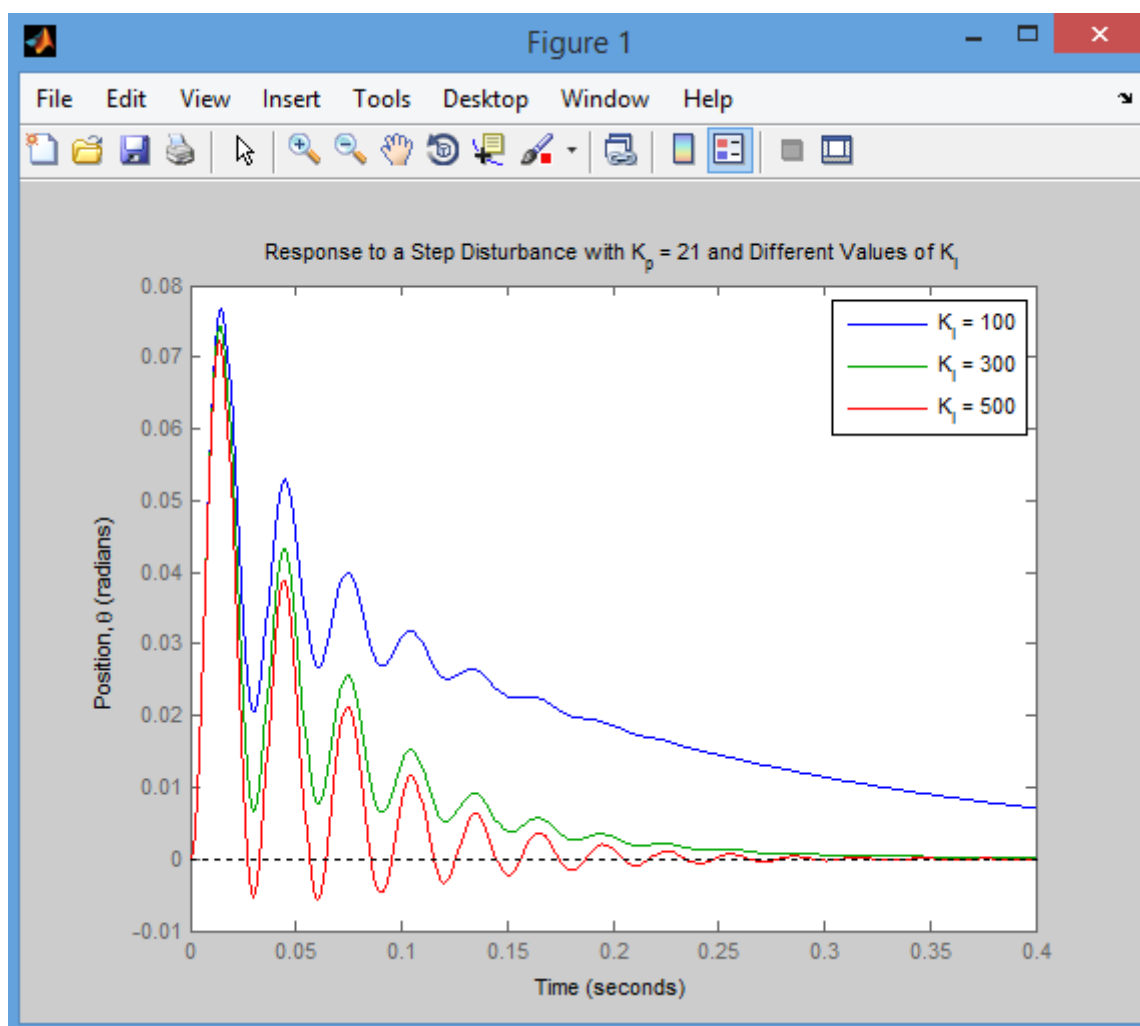
```
Kp = 21;  
Ki = 100;  
for i = 1:5  
    C(:, :, i) = pid(Kp, Ki);  
    Ki = Ki + 200;  
end  
  
sys_cl = feedback(C*P_motor, 1);  
t = 0:0.001:0.4;  
step(sys_cl(:, :, 1), sys_cl(:, :, 2), sys_cl(:, :, 3), t)  
ylabel('Position, \theta (radians)')  
title('Response to a Step Reference with K_p = 21 and Different Values  
of K_i')  
legend('K_i = 100', 'K_i = 300', 'K_i = 500')
```



13. ábra – Egyensúlyi hiba kiküszöbölése

Most nézzük meg milyen lesz a válasz a bemenet terhelésére.

```
dist_cl = feedback(P_motor,C);  
step(dist_cl(:,:,1), dist_cl(:,:,2), dist_cl(:,:,3), t)  
ylabel('Position, \theta (radians)')  
title('Response to a Step Disturbance with K_p = 21 and Different Values  
of K_i')  
legend('K_i = 100', 'K_i = 300', 'K_i = 500')
```



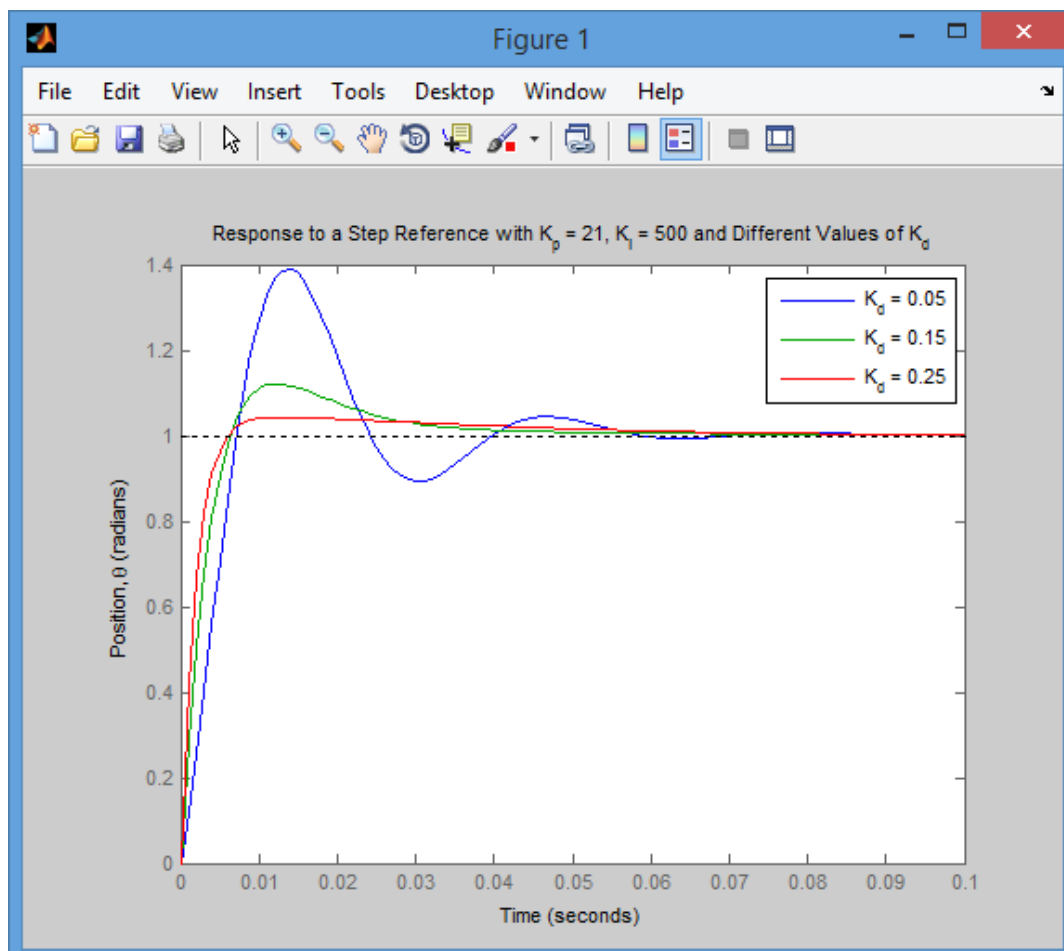
14. ábra – Bemenet terhelése

Az integrális vezérlés lecsillapította az egyensúlyi hibát nullára, még úgy is, hogy a bemeneti terhelés jelen van, ez volt a célja az integrál rész hozzáadásának. Amint látható az összes válasz hasonló a referens grafikonhoz, azzal hogy az oszcilláció nőtt, ahogy egyre nagyobb K_i -t vettünk, viszont látható, hogy terhelés jelentősen változott ahogy a K_i -t változtattuk. Amikor különösen nagy erősítést használtunk a hiba sokkal gyorsabban tartott a nulla felé. Azért választottuk a $K_i=500$ -at, mert a terhelés által okozott hiba nagyon gyorsan tart a nulla felé, még akkor is, ha a rendszernek több beállási idő kell, és több lesz az oszcilláció. Az oszcillációt és a beállási időt a deriváló tag hozzáadásával érhetjük el.

PID szabályzás

Próbáljuk a PID-t kis K_d értékekkel bővíteni.

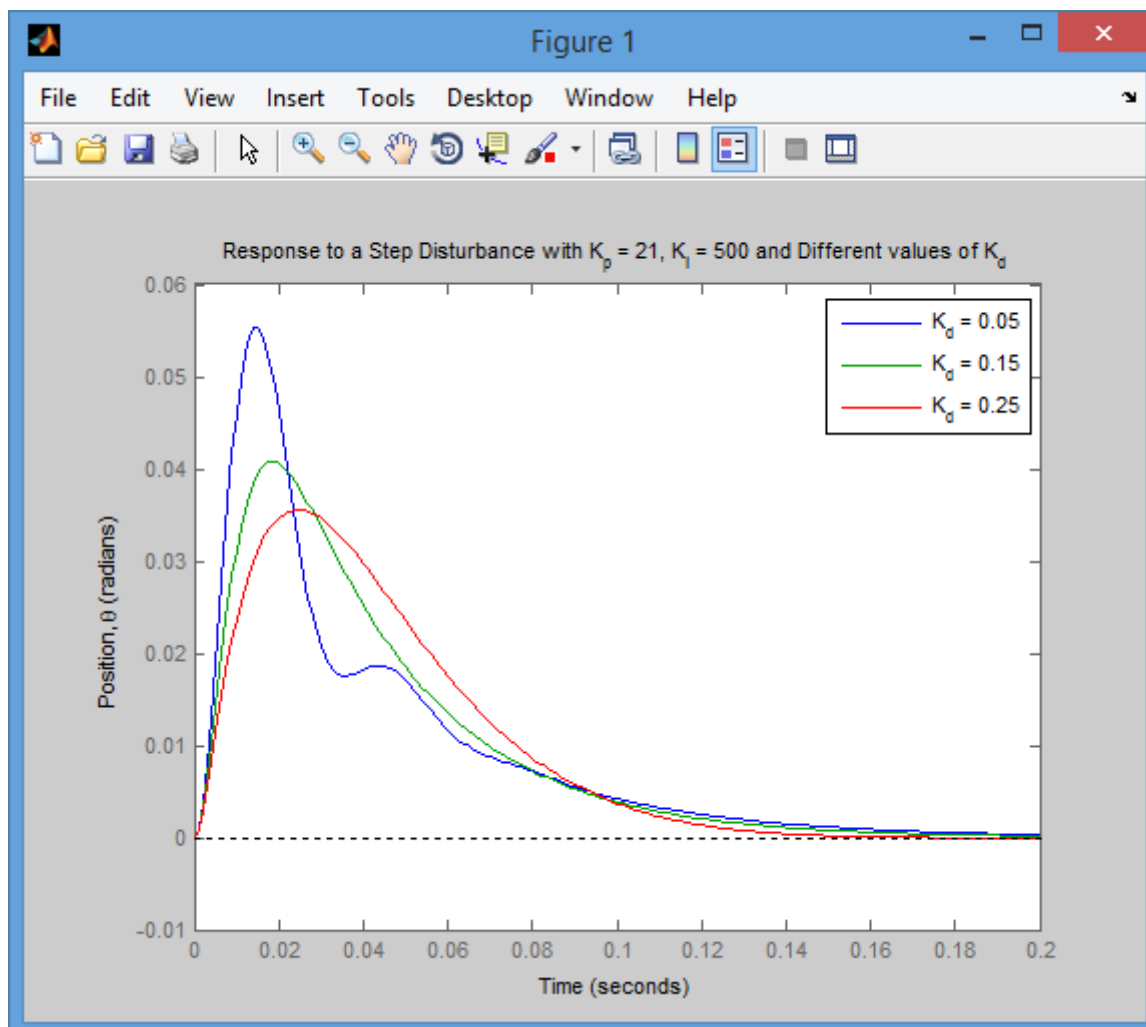
```
Kp = 21;  
Ki = 500;  
Kd = 0.05;  
  
for i = 1:3  
    C(:, :, i) = pid(Kp, Ki, Kd);  
    Kd = Kd + 0.1;  
end  
  
sys_cl = feedback(C*P_motor, 1);  
t = 0:0.001:0.1;  
step(sys_cl(:, :, 1), sys_cl(:, :, 2), sys_cl(:, :, 3), t)  
ylabel('Position, \theta (radians)')  
title('Response to a Step Reference with K_p = 21, K_i = 500 and  
Different Values of K_d')  
legend('K_d = 0.05', 'K_d = 0.15', 'K_d = 0.25')
```



15. ábra – K_d érték hozzáadása a rendszerhez

Nézzük meg mi történik a gerjesztés válasszal, ha az m-file-unkba a következőt írjuk be:

```
dist_cl = feedback(P_motor,C);  
t = 0:0.001:0.2;  
step(dist_cl(:,1), dist_cl(:,2), dist_cl(:,3), t)  
ylabel('Position, \theta (radians)')  
title('Response to a Step Disturbance with  $K_p = 21$ ,  $K_i = 500$  and  
Different values of  $K_d$ ')  
legend('K_d = 0.05', 'K_d = 0.15', 'K_d = 0.25')
```



16. ábra – Gerjesztés válasz

Úgy néz ki, mikor $K_d=0.15$, mint amikor a rendszerünk követelményeit kértük. Hogy pontosan meghatározzuk a karakterisztikáját a gerjesztés válasznak a jobb-klikk menüben ki kell választani a step response plot-ot, vagy a stepinfo parancsot használni, mint a következő ábrán:

```
stepinfo(sys_cl(:, :, 2))

ans =
    RiseTime: 0.0046
    SettlingTime: 0.0338
    SettlingMin: 0.9183
    SettlingMax: 1.1211
    Overshoot: 12.1139
    Undershoot: 0
           Peak: 1.1211
        PeakTime: 0.0121
```

Az eredményekből látható, hogy a beállási idő 34ms alá csökkent, a túllövés kicsivel 12% fölé, és nincs egyensúly állapot hibánk. Tudjuk tehát hogy egy olyan PID szabályzót kell terveznünk amely a következő értékekkel dolgozik:

- $K_p = 21$
- $K_i = 500$
- $K_d = 0.15$.

Állapottér módszerek a szabályozó tervezéséhez

Az adott probléma dinamikai egyenletei állapottér formában a következőképpen alakulnak:

$$\frac{d}{dt} \begin{bmatrix} \theta \\ \dot{\theta} \\ i \end{bmatrix} = \begin{bmatrix} 0 & 1 & 0 \\ 0 & -\frac{b}{J} & \frac{K}{J} \\ 0 & -\frac{K}{L} & -\frac{R}{L} \end{bmatrix} \begin{bmatrix} \theta \\ \dot{\theta} \\ i \end{bmatrix} + \begin{bmatrix} 0 \\ 0 \\ 1 \\ \frac{1}{L} \end{bmatrix} V$$
$$y = \begin{bmatrix} 1 & 0 & 0 \end{bmatrix} \begin{bmatrix} \theta \\ \dot{\theta} \\ i \end{bmatrix}$$

Ezek az állapotter egyenletek szabványos formában:

$$\dot{x} = Ax + Bu$$

$$y = Cx$$

Ahhoz, hogy egy lépésben 1 rad/sec legyen a referencia, a tervezési kritériumok a következők:

- A beállási idő kevesebb, mint 40ms
- A túllövés kevesebb, mint 16%
- Állandósult állapotban ne legyen hiba, még ha a bemeneten zavar (terhelés) is van.

```
J = 3.2284E-6;  
b = 3.5077E-6;  
K = 0.0274;  
R = 4;  
L = 2.75E-6;  
  
A = [0 1 0  
      0 -b/J K/J  
      0 -K/L -R/L];  
B = [0 ; 0 ; 1/L];  
C = [1 0 0];  
D = 0;  
motor_ss = ss(A,B,C,D);
```

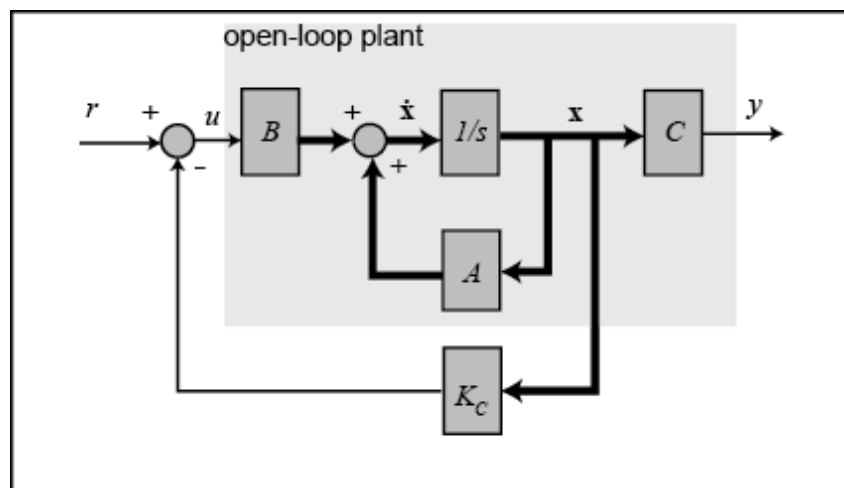
Visszacsatolt állapotter szabályozó tervezése

Mivel mindkét állapotter változó könnyen mérhető (egyszerűen adjunk hozzá egy árammérőt, a tachométert és egy potenciométert a pozíció meghatározásához), ezért nem kell hozzá megfigyelő.

A visszacsatolt állapotter szabályozó rendszerhez a következő törvény írható fel:

$$u = r - Kcx$$

Az alábbiakban a hozzá kapcsolódó sematikus ábra látható.



17. ábra – Visszacsatolt állapotér szabályozó rendszer

A zárt visszacsatolású rendszert meghatározó karakterisztikus polinom $sI - (A - B * K_c)$, ahol az s a Laplace változó. Mivel A és $B * K_c$ mátrixok egyaránt 3×3 mátrixok, így három pólusa van a rendszernek. Az adott rendszer tervezésénél a három pólus elmozdítható. Ahhoz, hogy ellenőrizhessük az adott rendszer irányíthatóságát, ellenőrizzük az irányíthatósági mátrix rangját $[B \ AB \ A^2B \ \dots]$. A `ctrb` MATLAB parancs felépíti az A és B irányíthatósági mátrixot, továbbá a `rank` parancs az adott mátrix rangját. A következő parancsokkal ellenőrizzük a rendszer rendjét és a rendszer irányíthatóságát:

```
sys_order = order(motor_ss)
determinant = det(ctrb(A,B))

sys_order =
    3
determinant =
    -3.4636e+24
```

Az eredményekből látszik, hogy a rendszerünk szabályozható, hiszen a determinánsa a mátrixnak nem nulla, ezért a rendszer zárt hurok pólusait akárhol elhelyezhetjük az s térben. Először elhelyezzük a pólusokat -200 , $-100+100i$ és $-100-100i$ értékekre, az első pólus hatását elhagyva (mivel ez sokkal gyorsabb mint a másik két pólus), a domináns pólusok megfelelnek egy másodrendű rendszernek, $\zeta = 0.5$, ami megfelel 0.16%-os túllövésnek és

$\sigma = 100$, ami megfelel 0.040-os beállási időnek. Most hogy meghatároztuk a pólusok pozícióját, használhatunk MATLAB parancsokat hogy ismét meghatározzuk a szabályzó erősítés mátrixát K_c -t, hogy elérjük ezeket a pólusokat. A meghatározást továbbra is numerikusan végezzük. A következő programkódot kell az m-file végére írni:

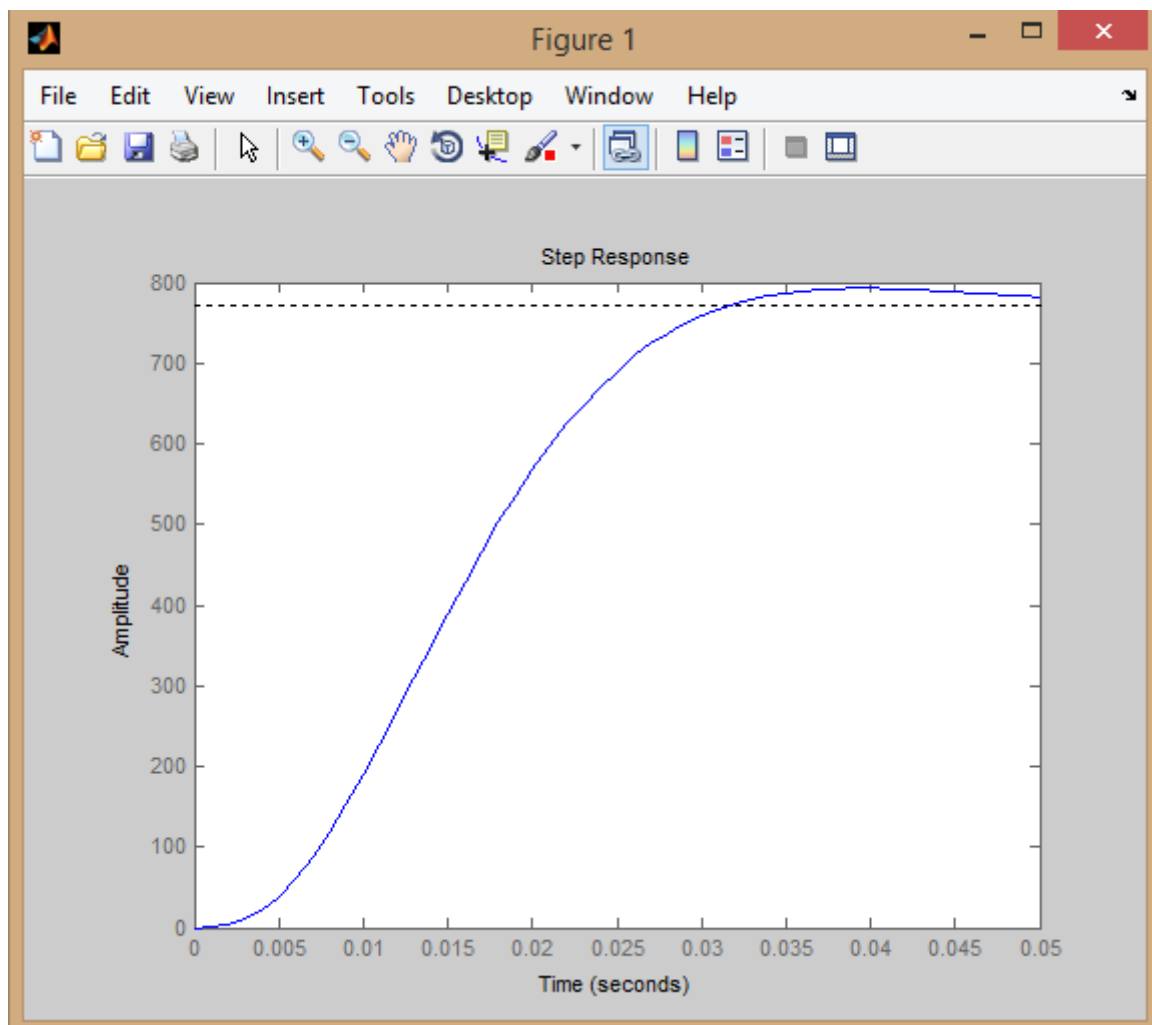
```
p1 = -100+100i;  
p2 = -100-100i;  
p3 = -200;  
Kc = place(A,B,[p1, p2, p3])  
Kc =  
    0.0013    -0.0274    -3.9989
```

Ha az állapotter egyenletbe behelyettesítjük az $u = r - K_c x$ törvényt, akkor a következő kifejezést kapjuk:

$$\dot{x} = (A - BK_c)x + Br$$

$$y = Cx$$

```
t = 0:0.001:0.05;  
sys_cl = ss(A-B*Kc,B,C,D);  
step(sys_cl,t)
```



18. ábra – Szabályzott rendszer

Digitális szabályozó tervezése

Ebben a fejezetben a DC motor pozíciószabályozó digitális változatát dolgozzuk fel. Ezt az analóg modell átalakításával fogjuk leírni.

A folytonos nyitott hurkú átviteli függvény a bemeneti feszültség és a kimeneti pozícióból származik:

$$P(s) = \frac{\Theta(s)}{V(s)} = \frac{K}{s(Js + b)(Ls + R) + K^2} \left[\frac{\text{rad}}{\text{V}} \right]$$

Ahhoz, hogy egy lépésben 1 rad/sec legyen a referencia, a tervezési kritériumok a következők:

- A beállási idő kevesebb, mint 40ms
- A túllövés kevesebb, mint 16%
- Állandósult állapotban ne legyen hiba, még ha a bemeneten zavar (terhelés) is van.

A rendszer mintavételezett adatmodellje

Egy digitális vezérlő rendszer tervezésének az első lépése az, hogy létrehozzunk egy mintavételezett adat-modellt. Szükséges megválasztani a mintavételezési frekvenciát.

A *zpk* paranccsal az átviteli függvényt egy olyan formára alakítjuk, ahol a nullák, pólusok és az erősítés egyértelműen láthatóak. A választott mintavételezési idő 0,001 másodperc, lényegesen gyorsabb, mint a rendszer dinamikája.

```
J = 3.2284E-6;  
b = 3.5077E-6;  
K = 0.0274;  
R = 4;  
L = 2.75E-6;  
s = tf('s');  
P_motor = K/(s*((J*s+b)*(L*s+R)+K^2));  
zpk(P_motor)  
  
ans =  
  
      3086245930.9988  
-----  
s (s+1.454e06) (s+59.23)  
  
Continuous-time zero/pole/gain model.
```

Ebben az esetben az adott átviteli függvényt a folyamatos Laplace tartományból diszkrét z-tartományba alakítjuk át. Az említett átalakítást a *C2D* parancs révén kaphatjuk meg. A *C2D* parancshoz három tényező szükséges: a rendszer modellje, a mintavételezési idő (T_s), és a tartószerv típusának a meghatározása. Ebben a példában nulladrendű (ZOH) tartószervet feltételezünk.

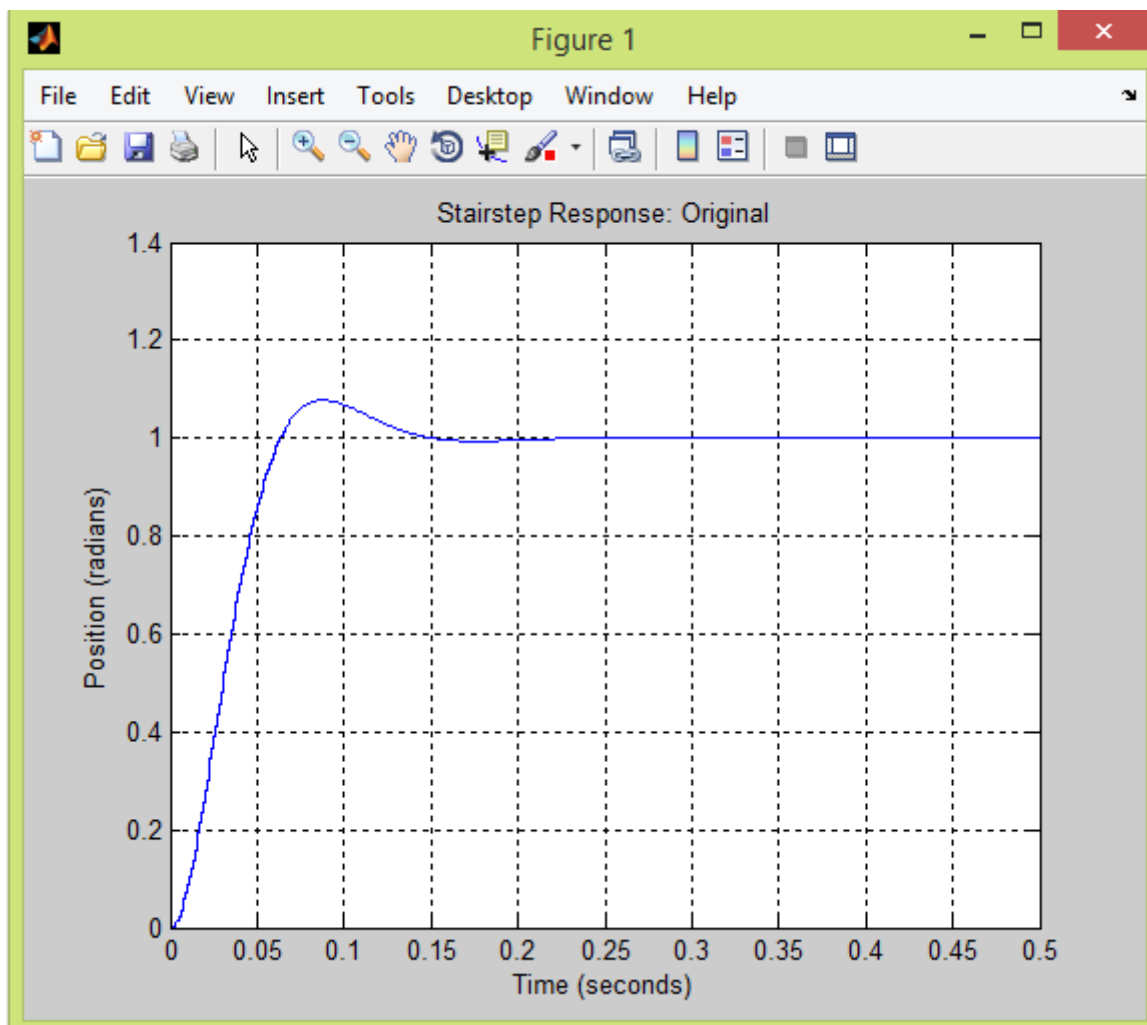
```
Ts = 0.001;  
dP_motor = c2d(P_motor, Ts, 'zoh');  
zpk(dP_motor)  
  
ans =  
  
    0.0010389 (z+0.9831) (z+9.256e-07)  
    -----  
           z (z-1) (z-0.9425)  
  
Sample time: 0.001 seconds  
Discrete-time zero/pole/gain model.
```

Amint felülről látható, van egy pólus, ami nagyon közel van a nullához, vagyis szinte elhagyható. Ha el akarjuk hagyni, a `minreal` paranccsal megtehetjük, ha a toleranciát 0.001-re állítjuk. Ha ezt a pólust így nullává módosítjuk akkor csökkentjük az átviteli függvény rendjét, és kikerüljük a numerikus nehézségeket a MATLAB-ban. A `minreal` parancs használata következő ábrán látható:

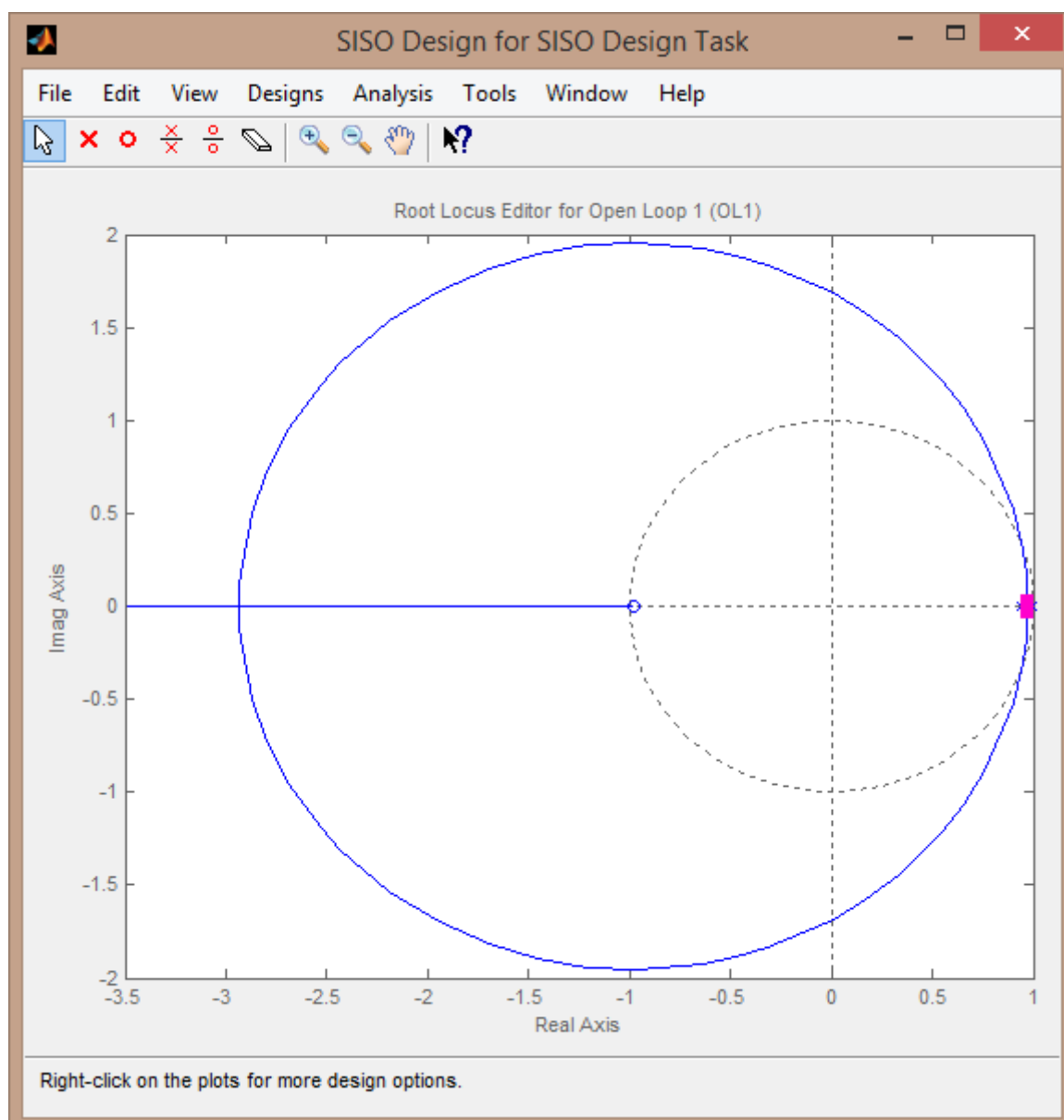
```
dP_motor = minreal(dP_motor,0.001);  
zpk(dP_motor)  
ans =  
  
    0.0010389 (z+0.9831)  
    -----  
           (z-1) (z-0.9425)  
  
Sample time: 0.001 seconds  
Discrete-time zero/pole/gain model.
```

Első megközelítésre a zárt visszacsatolású rendszer válaszát szeretnénk elemezni, bármilyen kompenzáció nélkül. Ehhez be kell zárni a hurkot az átviteli függvényen a `feedback` parancs segítségével. A hurok bezárása után megvizsgáljuk a rendszer válasz függvényét nulladrendű tartószervvel (`step` és `stairs` parancs).

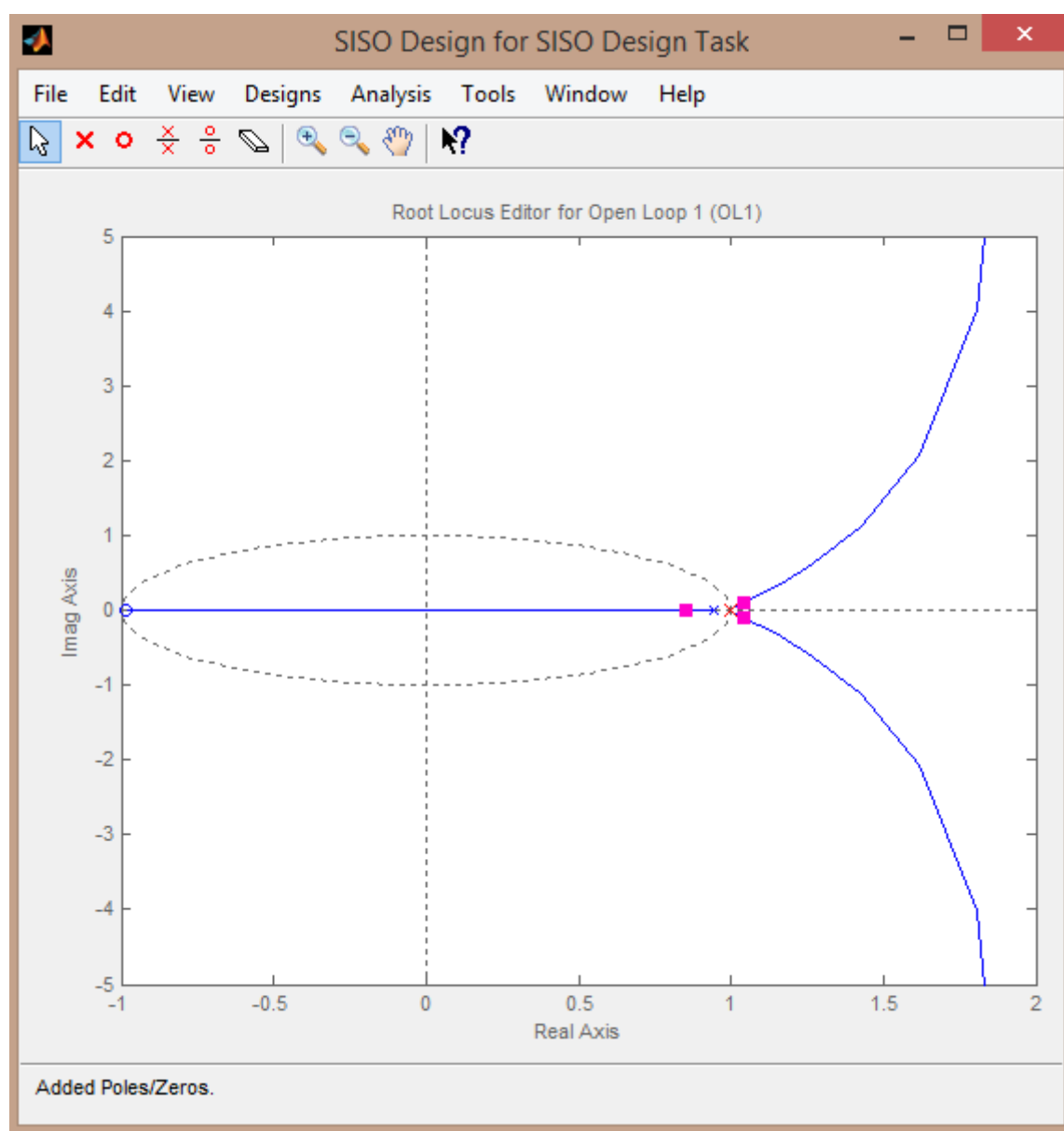
```
sys_cl = feedback(dP_motor,1);  
[x1,t] = step(sys_cl,.5);  
stairs(t,x1)  
xlabel('Time (seconds)')  
ylabel('Position (radians)')  
title('Stairstep Response: Original')  
grid
```



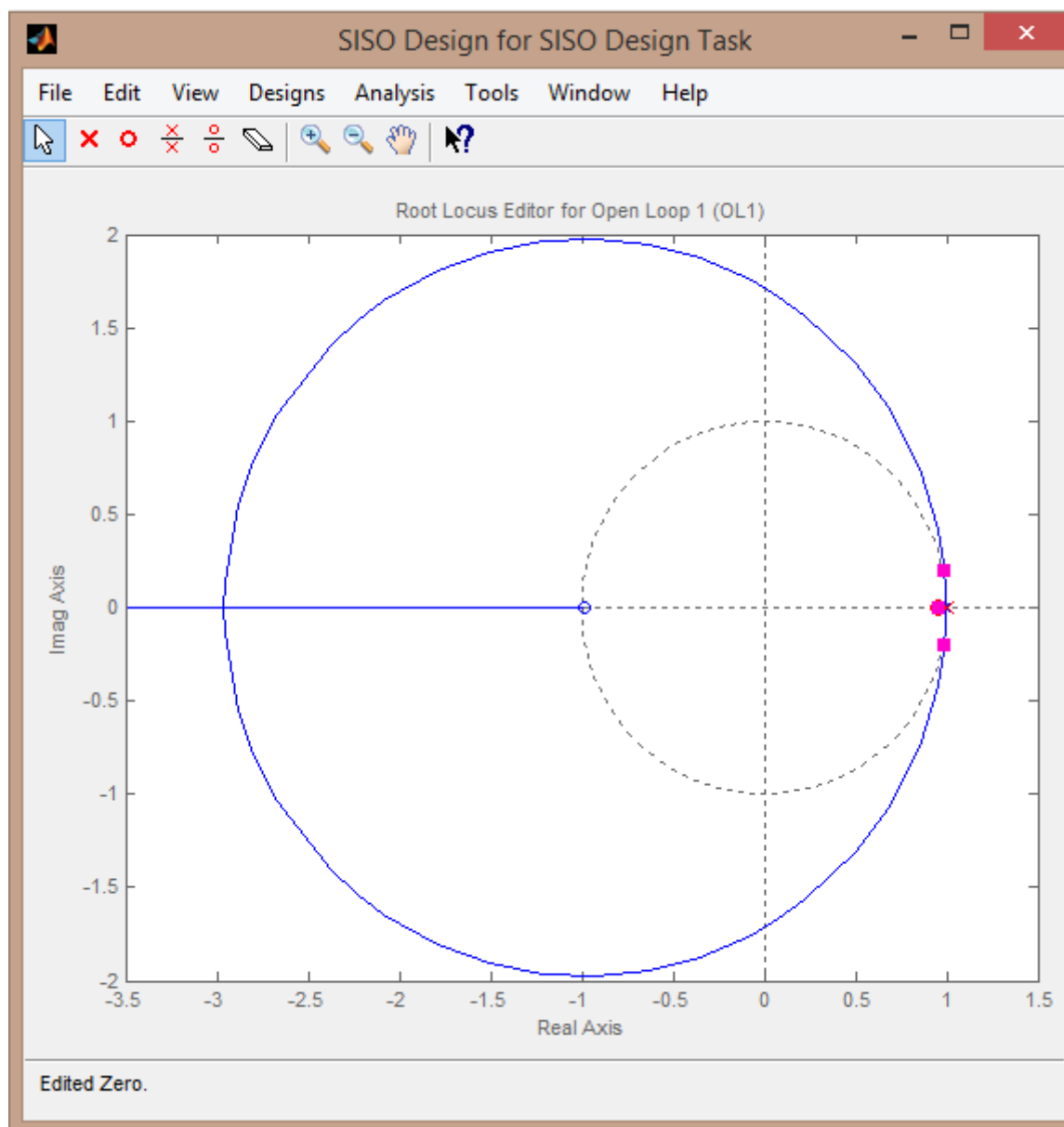
19. ábra – Zárt visszacsatolású rendszer válasza



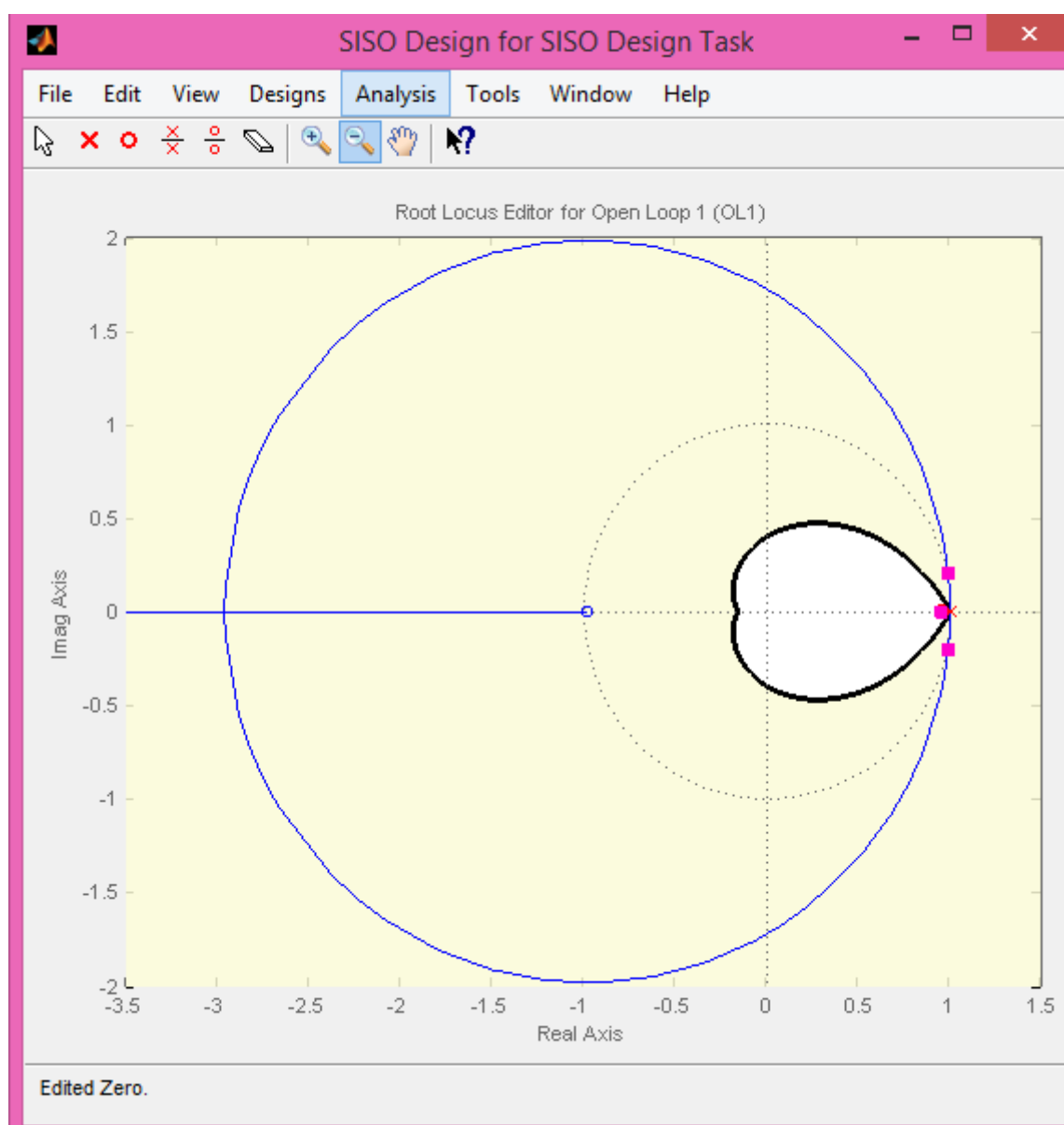
20. ábra



21. ábra



22. ábra



23. ábra

Ábrajegyzék

1. ÁBRA - KEFÉS DC MOTOR VÁZLATA	3
2. ÁBRA – INTEGRÁTOROK BEVITELE SIMULINKBEN	9
3. ÁBRA – INDUKTIVITÁS ÉS TEHETELENSÉG HOZZÁADÁSA SIMULINKBEN	10
4. ÁBRA – SÚRLÓDÁS ÉS A MOTOR NYOMATÉKÁNAK HOZZÁADÁSA SIMULINKBEN	11
5. ÁBRA – ELEKTRONOTOROS ERŐ ÉS FESZÜLTÉSÉGESÉS	12
6. ÁBRA – BEMENET ÉS KIMENET HOZZÁADÁSA SIMULINKBEN	13
7. ÁBRA – A KÉSZ RENDSZER SIMULINKBEN	14
8. ÁBRA – EREDMÉNY MEGTEKINTÉSE A SCOPE-ON	15
10. ÁBRA – A RENDSZER VISELKEDÉSE	17
11. ÁBRA – A RENDSZER SZERKEZETI FORMÁJA, PID SZABÁLYZÓ TERVEZÉSE	19
12. ÁBRA – A ZÁRT HURKÚ SZABÁLYZÓ ÁTVITELI FÜGGVÉNYÉNEK LÉPÉS VÁLASZA	21
13. ÁBRA – A RENDSZER VISELKEDÉSE TERHELÉS ALATT	22
14. ÁBRA – EGYENSÚLYI HIBA KIKÜSZÖBÖLÉSE	23
15. ÁBRA – BEMENET TERHELÉSE	24
16. ÁBRA – KD ÉRTÉK HOZZÁADÁSA A RENDSZERHEZ	26
17. ÁBRA – GERJESZTÉS VÁLASZ	27
18. ÁBRA – VISSZACSATOLT ÁLLAPOTTÉR SZABÁLYOZÓ RENDSZER	30
19. ÁBRA – SZABÁLYZOTT RENDSZER	32
20. ÁBRA – ZÁRT VISSZACSATOLÁSÚ RENDSZER VÁLASZA	35
21. ÁBRA	36
22. ÁBRA	37
23. ÁBRA	38
24. ÁBRA	39